

Ein- und Ausgabe: Offset-Reflektiv-System ORS18a für relativen CIELAB-Buntton $h_{ab,a,rel} = h_{ab}/360 = 190/360 = 0.52$

$H^*_ = G25B_$

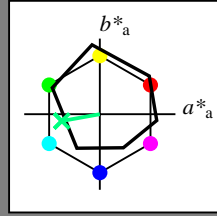
Daten für jede Geräte- (d) oder Elementarfarbe (e):

$HIC^*_$

Bunttontext für die Farben dieser Seite:

$H^*_ = G25B_$

Dreiecks-Helligkeit T^*



ORS18a; adaptierte CIELAB-Daten

| Name | $L^*=L^*_a a^*_a$ | b^*_a | $C^*_{ab,a}$ | $h^*_{ab,a}$ |
|--------------------|-------------------|---------|--------------|--------------|
| R _{-,Ma} | 47.9 | 65.3 | 50.5 | 82.6 |
| Y _{-,Ma} | 90.3 | -10.2 | 91.7 | 92.3 |
| G _{-,Ma} | 50.9 | -62.8 | 34.9 | 71.9 |
| C _{-,Ma} | 58.6 | -30.3 | -45.0 | 54.2 |
| B _{-,Ma} | 25.7 | 31.0 | -44.4 | 54.2 |
| M _{-,Ma} | 48.1 | 75.2 | -8.3 | 75.7 |
| N _{-,Ma} | 18.0 | 0.0 | 0.0 | 0 |
| W _{-,Ma} | 95.4 | 0.0 | 0.0 | 0 |
| R _{-,CIE} | 39.9 | 58.7 | 27.9 | 65.0 |
| Y _{-,CIE} | 81.2 | -2.8 | 71.5 | 71.6 |
| G _{-,CIE} | 52.2 | -42.4 | 13.6 | 44.5 |
| B _{-,CIE} | 30.5 | 1.4 | -46.4 | 46.4 |

Daten für Maximalfarbe (Ma):

$LabCh^*_{-,Ma}$: 59 -50 -9 51 190

$HIC^*_{-,Ma}$: G25B_100_100_

$rgbic^*_{-,Ma}$:

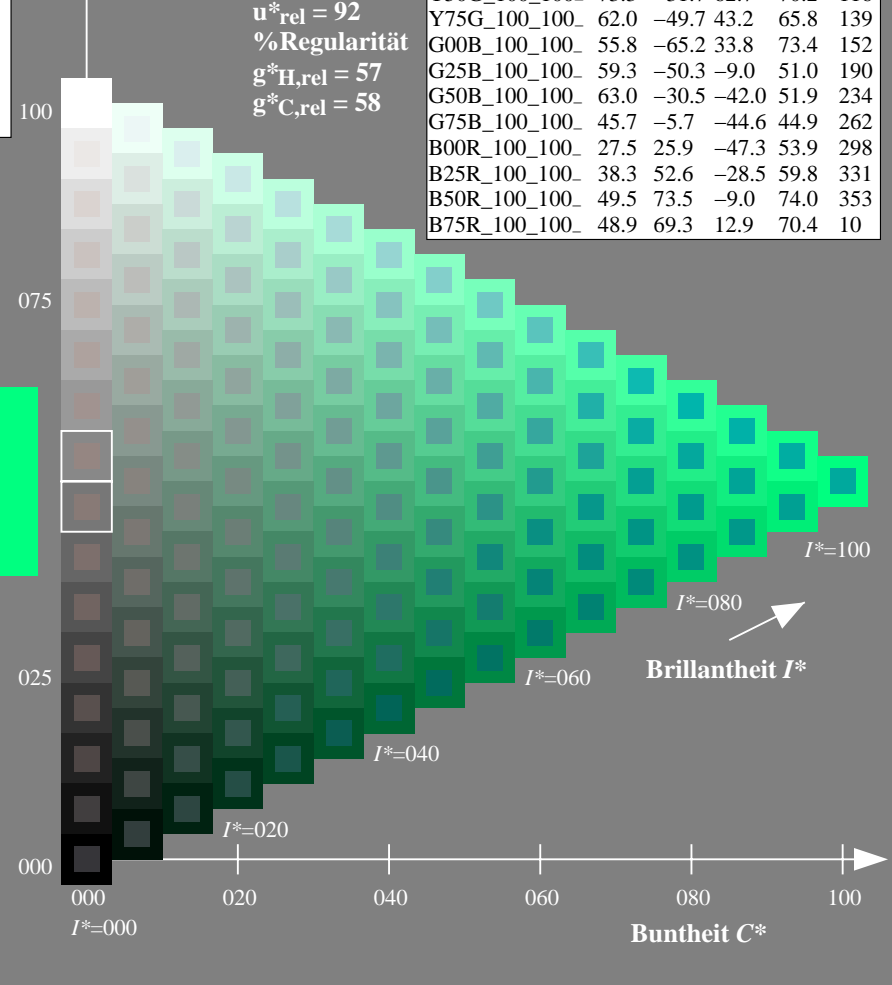
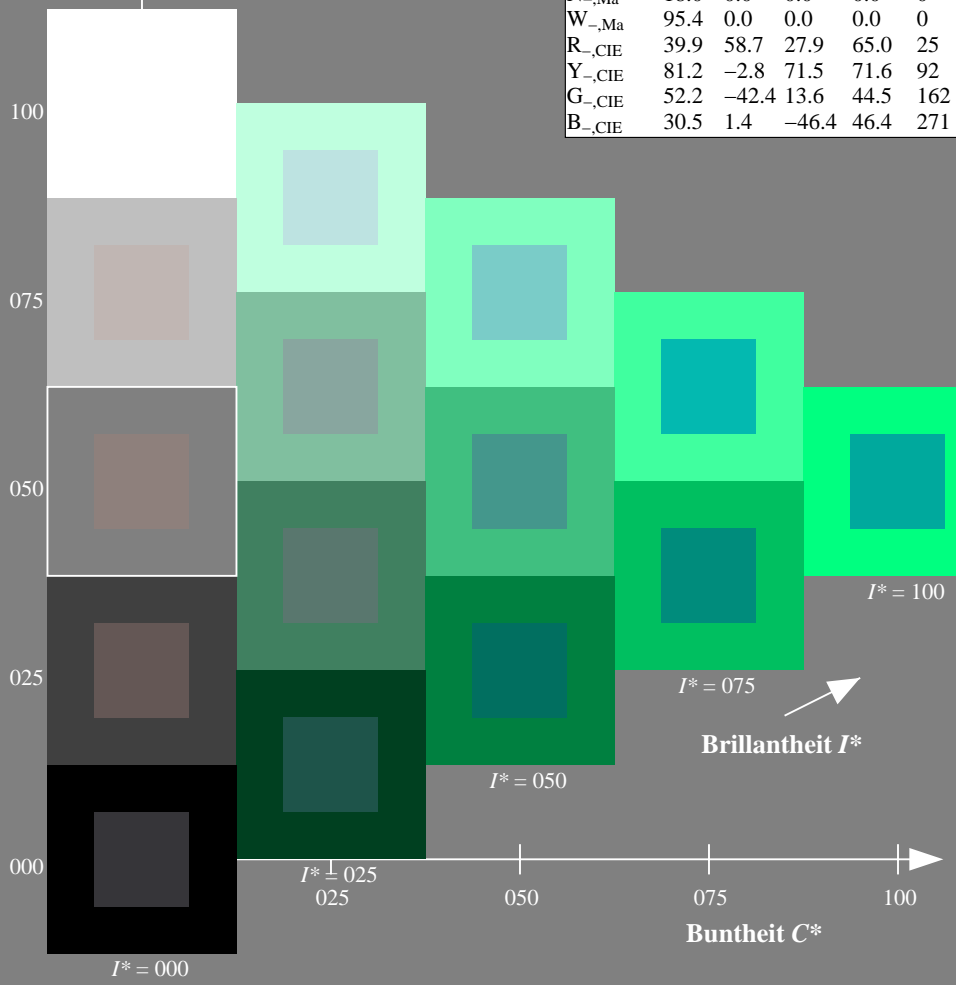
0.0 1.0 0.5 1.0 1.0

Dreiecks-Helligkeit T^*

%Umfang
 $u^*_{rel} = 92$
 %Regularität
 $g^*_{H,rel} = 57$
 $g^*_{C,rel} = 58$

ORS20a; adaptierte CIELAB-Daten

| $H^*_$ | $L^*=L^*_a a^*_a$ | b^*_a | $C^*_{ab,a}$ | $h^*_{ab,a}$ |
|---------------|-------------------|---------|--------------|--------------|
| R00Y_100_100_ | 48.4 | 66.1 | 40.2 | 77.3 |
| R25Y_100_100_ | 56.8 | 48.0 | 50.5 | 69.6 |
| R50Y_100_100_ | 68.6 | 25.0 | 63.9 | 68.6 |
| R75Y_100_100_ | 80.6 | 4.8 | 77.2 | 77.3 |
| Y00G_100_100_ | 90.2 | -9.6 | 88.2 | 88.7 |
| Y25G_100_100_ | 83.2 | -18.4 | 79.9 | 81.9 |
| Y50G_100_100_ | 73.3 | -31.7 | 62.7 | 70.2 |
| Y75G_100_100_ | 62.0 | -49.7 | 43.2 | 65.8 |
| G00B_100_100_ | 55.8 | -65.2 | 33.8 | 73.4 |
| G25B_100_100_ | 59.3 | -50.3 | -9.0 | 51.0 |
| G50B_100_100_ | 63.0 | -30.5 | -42.0 | 51.9 |
| G75B_100_100_ | 45.7 | -5.7 | -44.6 | 44.9 |
| B00R_100_100_ | 27.5 | 25.9 | -47.3 | 53.9 |
| B25R_100_100_ | 38.3 | 52.6 | -28.5 | 59.8 |
| B50R_100_100_ | 49.5 | 73.5 | -9.0 | 74.0 |
| B75R_100_100_ | 48.9 | 69.3 | 12.9 | 70.4 |



Siehe ähnliche Dateien: <http://130.149.60.45/~farbmetrik/QG88/QG88.HTM>
 Technische Information: <http://www.ps.bam.de> oder <http://130.149.60.45/~farbmetrik>

TUB-Registrierung: 20130201-QG88/QG88LONP.PDF /.PS
 Anwendung für Messung von Offsetdruck-Ausgabe

TUB-Material: Code=rh4ta

Ein- und Ausgabe: Offset-Reflektiv-System ORS18a für relativen CIELAB-Bunton $h_{ab,a,rel} = h_{ab}/360 = 189/360 = 0.52$

$H^*_e = G25B_e$

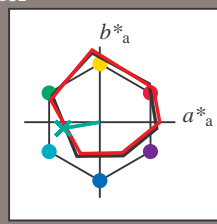
Daten für jede Geräte- (d) oder Elementarfarbe (e):

HIC^*_e

Buntoncode für die Farben dieser Seite:

$H^*_e = G25B_e$

Dreiecks-Helligkeit T^*



ORS20a; adaptierte CIELAB-Daten

| Name | $L^*=L^*_a a^*_a$ | b^*_a | $C^*_{ab,a}$ | $h^*_{ab,a}$ |
|--------|-------------------|---------|--------------|--------------|
| Re,Ma | 45.6 | 72.2 | 34.4 | 80.0 |
| Ye,Ma | 83.6 | -3.6 | 90.4 | 90.4 |
| Ge,Ma | 50.6 | -62.1 | 19.9 | 65.2 |
| Ce,Ma | 55.0 | -36.2 | -27.2 | 45.3 |
| Be,Ma | 40.2 | 1.2 | -40.6 | 40.6 |
| Me,Ma | 31.1 | 47.7 | -29.1 | 55.9 |
| Ne,Ma | 24.3 | 0.0 | 0.0 | 0.0 |
| We,Ma | 95.6 | 0.0 | 0.0 | 0.0 |
| Re,CIE | 39.9 | 58.7 | 27.9 | 65.0 |
| Ye,CIE | 81.2 | -2.8 | 71.5 | 71.6 |
| Ge,CIE | 52.2 | -42.4 | 13.6 | 44.5 |
| Be,CIE | 30.5 | 1.4 | -46.4 | 46.4 |

Daten für Maximalfarbe (Ma):

$LabCh^*_{e, Ma}: 53 \ -48 \ -8 \ 49 \ 189$

$HIC^*_{e, Ma}: G25B_100_100_e$

$rgbic^*_{e, Ma}$:

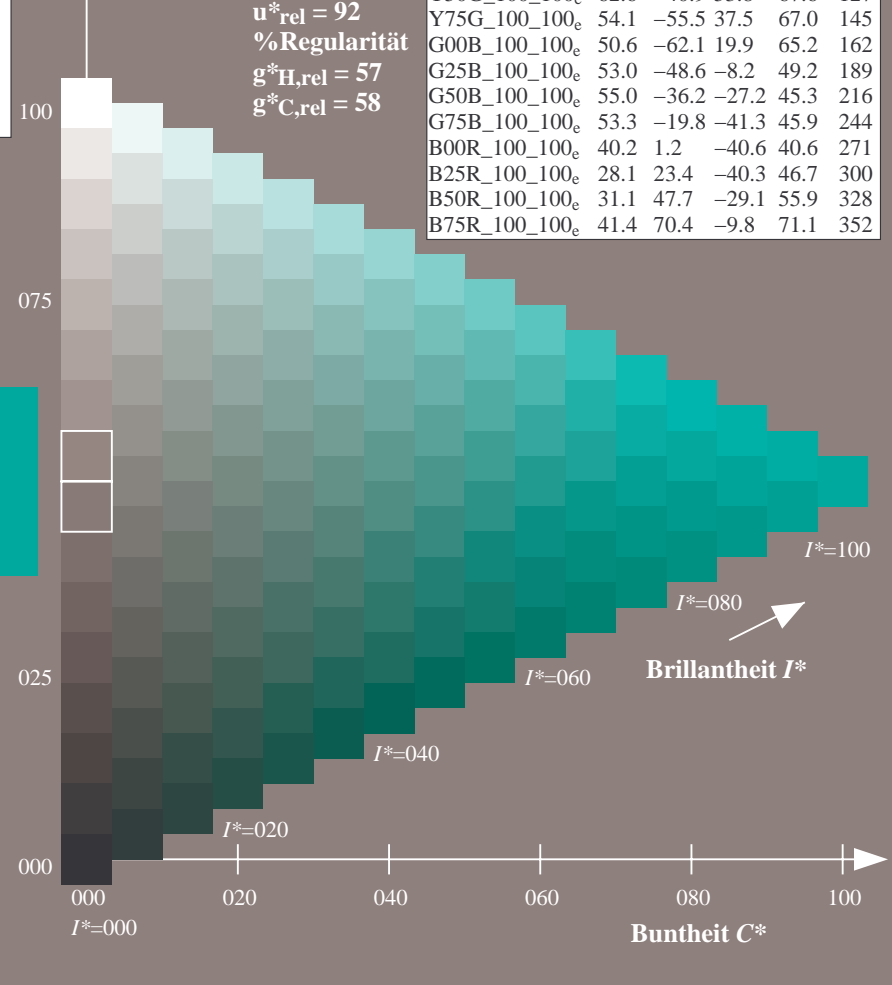
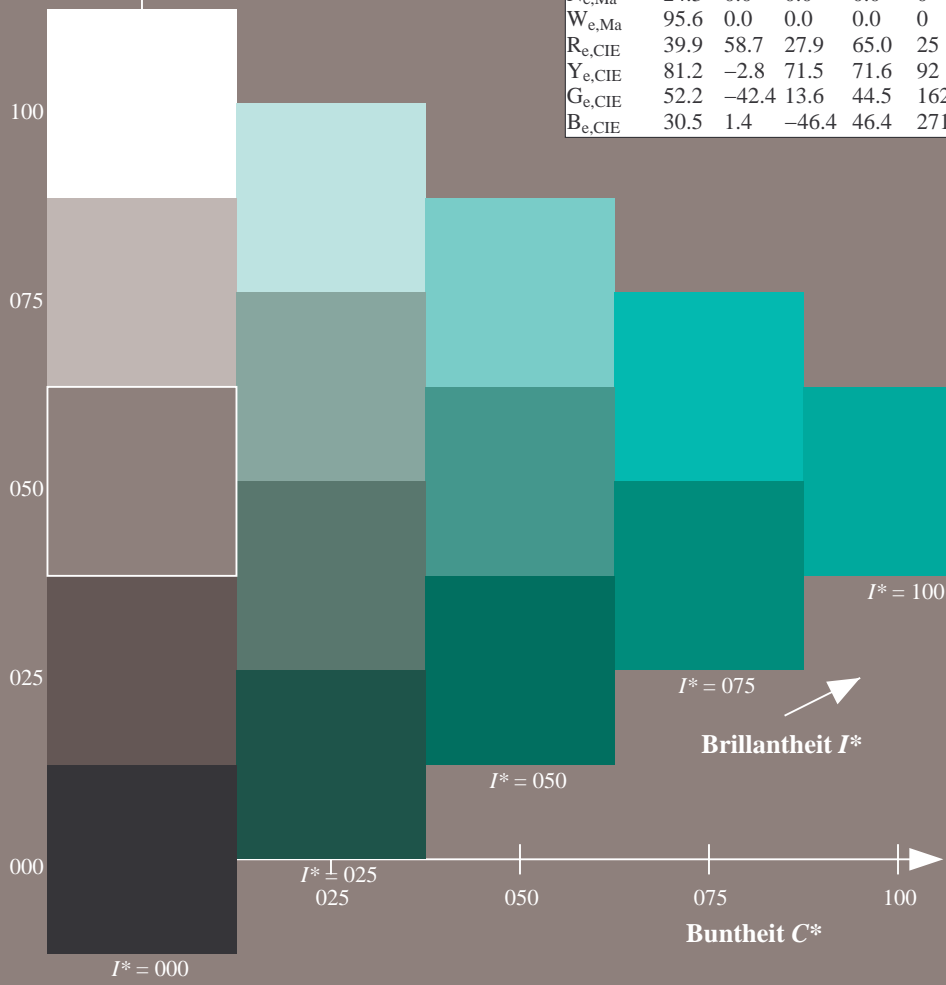
0.0 1.0 0.5 1.0 1.0

Dreiecks-Helligkeit T^*

%Umfang
 $u^*_{rel} = 92$
%Regularität
 $g^*_{H,rel} = 57$
 $g^*_{C,rel} = 58$

ORS20a; adaptierte CIELAB-Daten

| H^*_e | $L^*=L^*_a a^*_a$ | b^*_a | $C^*_{ab,a}$ | $h^*_{ab,a}$ |
|----------------|-------------------|---------|--------------|--------------|
| R00Y_100_100_e | 45.6 | 72.2 | 34.4 | 80.0 |
| R25Y_100_100_e | 50.5 | 59.2 | 51.6 | 78.6 |
| R50Y_100_100_e | 60.2 | 38.2 | 63.4 | 74.1 |
| R75Y_100_100_e | 70.9 | 17.9 | 75.9 | 77.9 |
| Y00G_100_100_e | 83.6 | -3.6 | 90.4 | 90.4 |
| Y25G_100_100_e | 74.5 | -25.0 | 74.3 | 78.4 |
| Y50G_100_100_e | 62.6 | -40.9 | 53.8 | 67.6 |
| Y75G_100_100_e | 54.1 | -55.5 | 37.5 | 67.0 |
| G00B_100_100_e | 50.6 | -62.1 | 19.9 | 65.2 |
| G25B_100_100_e | 53.0 | -48.6 | -8.2 | 49.2 |
| G50B_100_100_e | 55.0 | -36.2 | -27.2 | 45.3 |
| G75B_100_100_e | 53.3 | -19.8 | -41.3 | 45.9 |
| B00R_100_100_e | 40.2 | 1.2 | -40.6 | 40.6 |
| B25R_100_100_e | 28.1 | 23.4 | -40.3 | 46.7 |
| B50R_100_100_e | 31.1 | 47.7 | -29.1 | 55.9 |
| B75R_100_100_e | 41.4 | 70.4 | -9.8 | 71.1 |



Siehe ähnliche Dateien: <http://130.149.60.45/~farbmetrik/QG88/QG88.HTM>
Technische Information: <http://www.ps.bam.de> oder <http://130.149.60.45/~farbmetrik>

TUB-Registrierung: 20130201-QG88/QG88LONP.PDF /.PS TUB-Material: Code=rh4ta
Anwendung für Messung von Offsetdruck-Ausgabe, Separation cmy0 (CMY0)

0-013131-L0 QG880-71

TUB-Prüfvorlage QG88; Buntoncode: $H^*_e=G25B_e$
Prüfvorlage nach DIN 33872, 3D=0, de=1, cmy0

Eingabe: $rgb/cmyk \rightarrow rgb_e$
Ausgabe: Transfer nach $cmy0_e$

0-013131-F0

Ein- und Ausgabe: Offset-Reflektiv-System ORS18a für relativen CIELAB-Bunton $h_{ab,a,rel} = h_{ab}/360 = 189/360 = 0.52$

$H^*_e = G25B_e$

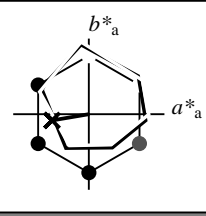
Daten für jede Geräte- (d) oder Elementarfarbe (e):

HIC^*_e

Buntoncode für die Farben dieser Seite:

$H^*_e = G25B_e$

Dreiecks-Helligkeit T^*



ORS20a; adaptierte CIELAB-Daten

| Name | $L^*=L^*_a$ | a^*_a | b^*_a | $C^*_{ab,a}$ | $h^*_{ab,a}$ |
|--------|-------------|---------|---------|--------------|--------------|
| Re,Ma | 45.6 | 72.2 | 34.4 | 80.0 | 25 |
| Ye,Ma | 83.6 | -3.6 | 90.4 | 90.4 | 92 |
| Ge,Ma | 50.6 | -62.1 | 19.9 | 65.2 | 162 |
| Ce,Ma | 55.0 | -36.2 | -27.2 | 45.3 | 216 |
| Be,Ma | 40.2 | 1.2 | -40.6 | 40.6 | 271 |
| Me,Ma | 31.1 | 47.7 | -29.1 | 55.9 | 328 |
| Ne,Ma | 24.3 | 0.0 | 0.0 | 0.0 | 0 |
| We,Ma | 95.6 | 0.0 | 0.0 | 0.0 | 0 |
| Re,CIE | 39.9 | 58.7 | 27.9 | 65.0 | 25 |
| Ye,CIE | 81.2 | -2.8 | 71.5 | 71.6 | 92 |
| Ge,CIE | 52.2 | -42.4 | 13.6 | 44.5 | 162 |
| Be,CIE | 30.5 | 1.4 | -46.4 | 46.4 | 271 |

Daten für Maximalfarbe (Ma):

$LabCh^*_{e, Ma}: 53 -48 -8 49 189$

$HIC^*_{e, Ma}: G25B_{100_{100}_e}$

$rgbic^*_{e, Ma}$:

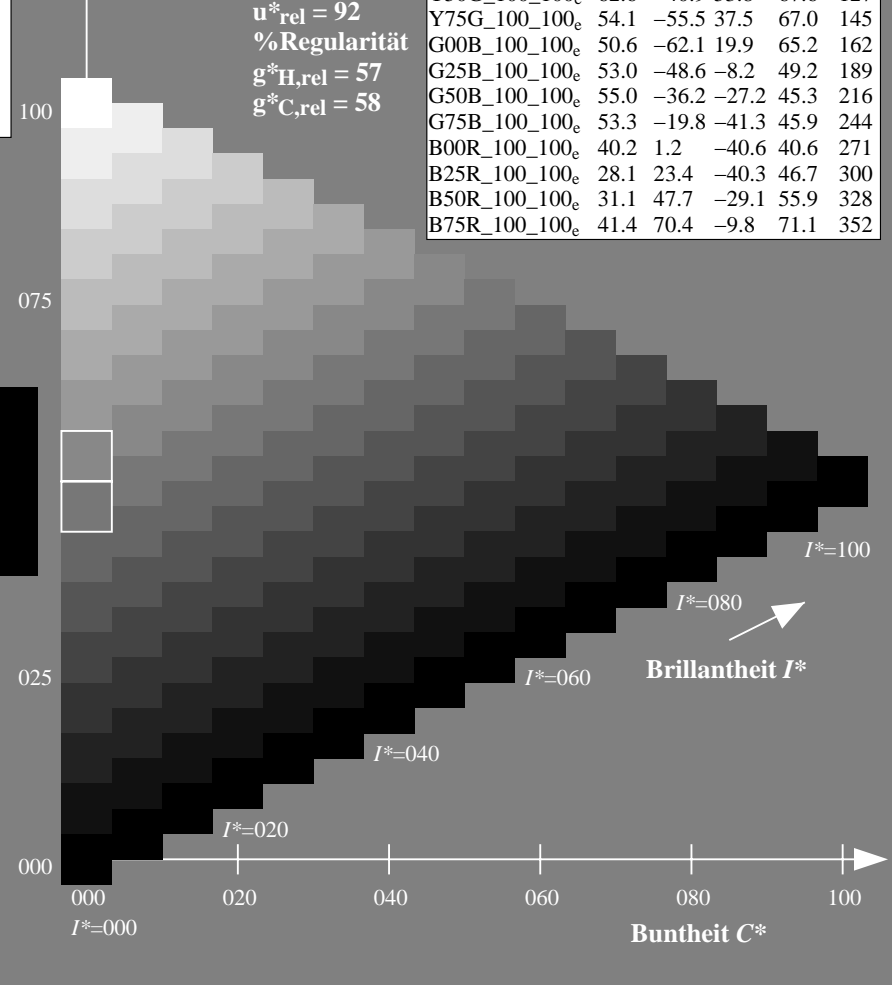
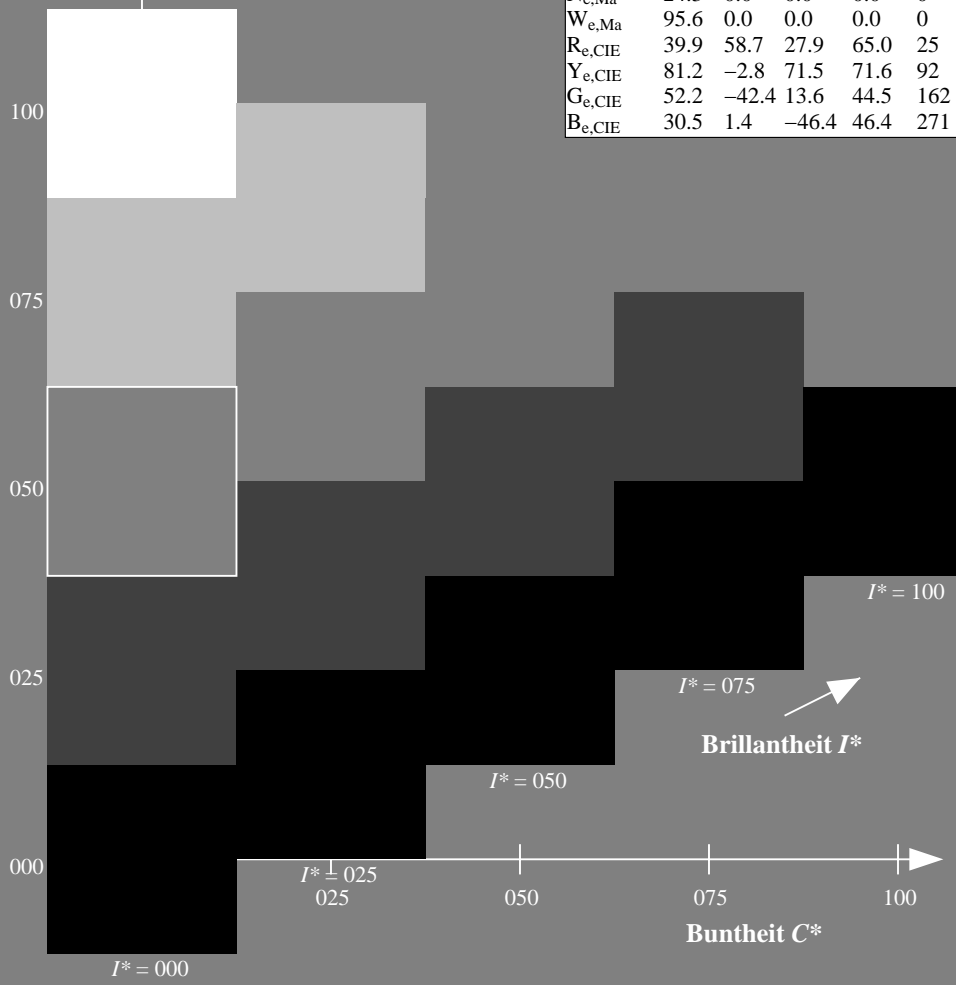
0.0 1.0 0.5 1.0 1.0

Dreiecks-Helligkeit T^*

%Umfang
 $u^*_{rel} = 92$
%Regularität
 $g^*_H, rel = 57$
 $g^*_C, rel = 58$

ORS20a; adaptierte CIELAB-Daten

| H^*_e | $L^*=L^*_a$ | a^*_a | b^*_a | $C^*_{ab,a}$ | $h^*_{ab,a}$ |
|----------------|-------------|---------|---------|--------------|--------------|
| R00Y_100_100_e | 45.6 | 72.2 | 34.4 | 80.0 | 25 |
| R25Y_100_100_e | 50.5 | 59.2 | 51.6 | 78.6 | 41 |
| R50Y_100_100_e | 60.2 | 38.2 | 63.4 | 74.1 | 58 |
| R75Y_100_100_e | 70.9 | 17.9 | 75.9 | 77.9 | 76 |
| Y00G_100_100_e | 83.6 | -3.6 | 90.4 | 90.4 | 92 |
| Y25G_100_100_e | 74.5 | -25.0 | 74.3 | 78.4 | 108 |
| Y50G_100_100_e | 62.6 | -40.9 | 53.8 | 67.6 | 127 |
| Y75G_100_100_e | 54.1 | -55.5 | 37.5 | 67.0 | 145 |
| G00B_100_100_e | 50.6 | -62.1 | 19.9 | 65.2 | 162 |
| G25B_100_100_e | 53.0 | -48.6 | -8.2 | 49.2 | 189 |
| G50B_100_100_e | 55.0 | -36.2 | -27.2 | 45.3 | 216 |
| G75B_100_100_e | 53.3 | -19.8 | -41.3 | 45.9 | 244 |
| B00R_100_100_e | 40.2 | 1.2 | -40.6 | 40.6 | 271 |
| B25R_100_100_e | 28.1 | 23.4 | -40.3 | 46.7 | 300 |
| B50R_100_100_e | 31.1 | 47.7 | -29.1 | 55.9 | 328 |
| B75R_100_100_e | 41.4 | 70.4 | -9.8 | 71.1 | 352 |



Siehe ähnliche Dateien: <http://130.149.60.45/~farbmetrik/QG88/QG88.HTM>
Technische Information: <http://www.ps.bam.de> oder <http://130.149.60.45/~farbmetrik>

TUB-Registrierung: 20130201-QG88/QG88LONP.PDF /.PS TUB-Material: Code=rh4ta
Anwendung für Messung von Offsetdruck-Ausgabe, Separation cmy0 (CMY0)

0-013231-L0 QG880-71

TUB-Prüfvorlage QG88; Buntoncode: $H^*_e=G25B_e$
Prüfvorlage nach DIN 33872, 3D=0, de=1, cmy0

Eingabe: $rgb/cmyk \rightarrow rgb_e$
Ausgabe: Transfer nach $cmy0_e$

0-013231-F0

Ein- und Ausgabe: Offset-Reflektiv-System ORS18a für relativen CIELAB-Bunton $h_{ab,a,rel} = h_{ab}/360 = 189/360 = 0.52$

$H^*_e = G25B_e$

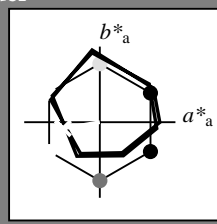
Daten für jede Geräte- (d) oder Elementarfarbe (e):

HIC^*_e

Buntoncode für die Farben dieser Seite:

$H^*_e = G25B_e$

Dreiecks-Helligkeit T^*



ORS20a; adaptierte CIELAB-Daten

| Name | $L^*=L^*_a$ | a^*_a | b^*_a | $C^*_{ab,a}$ | $h^*_{ab,a}$ |
|--------|-------------|---------|---------|--------------|--------------|
| Re,Ma | 45.6 | 72.2 | 34.4 | 80.0 | 25 |
| Ye,Ma | 83.6 | -3.6 | 90.4 | 90.4 | 92 |
| Ge,Ma | 50.6 | -62.1 | 19.9 | 65.2 | 162 |
| Ce,Ma | 55.0 | -36.2 | -27.2 | 45.3 | 216 |
| Be,Ma | 40.2 | 1.2 | -40.6 | 40.6 | 271 |
| Me,Ma | 31.1 | 47.7 | -29.1 | 55.9 | 328 |
| Ne,Ma | 24.3 | 0.0 | 0.0 | 0.0 | 0 |
| We,Ma | 95.6 | 0.0 | 0.0 | 0.0 | 0 |
| Re,CIE | 39.9 | 58.7 | 27.9 | 65.0 | 25 |
| Ye,CIE | 81.2 | -2.8 | 71.5 | 71.6 | 92 |
| Ge,CIE | 52.2 | -42.4 | 13.6 | 44.5 | 162 |
| Be,CIE | 30.5 | 1.4 | -46.4 | 46.4 | 271 |

Daten für Maximalfarbe (Ma):

$LabCh^*_{e, Ma}: 53 \ -48 \ -8 \ 49 \ 189$

$HIC^*_{e, Ma}: G25B_100_100_e$

$rgbic^*_{e, Ma}$:

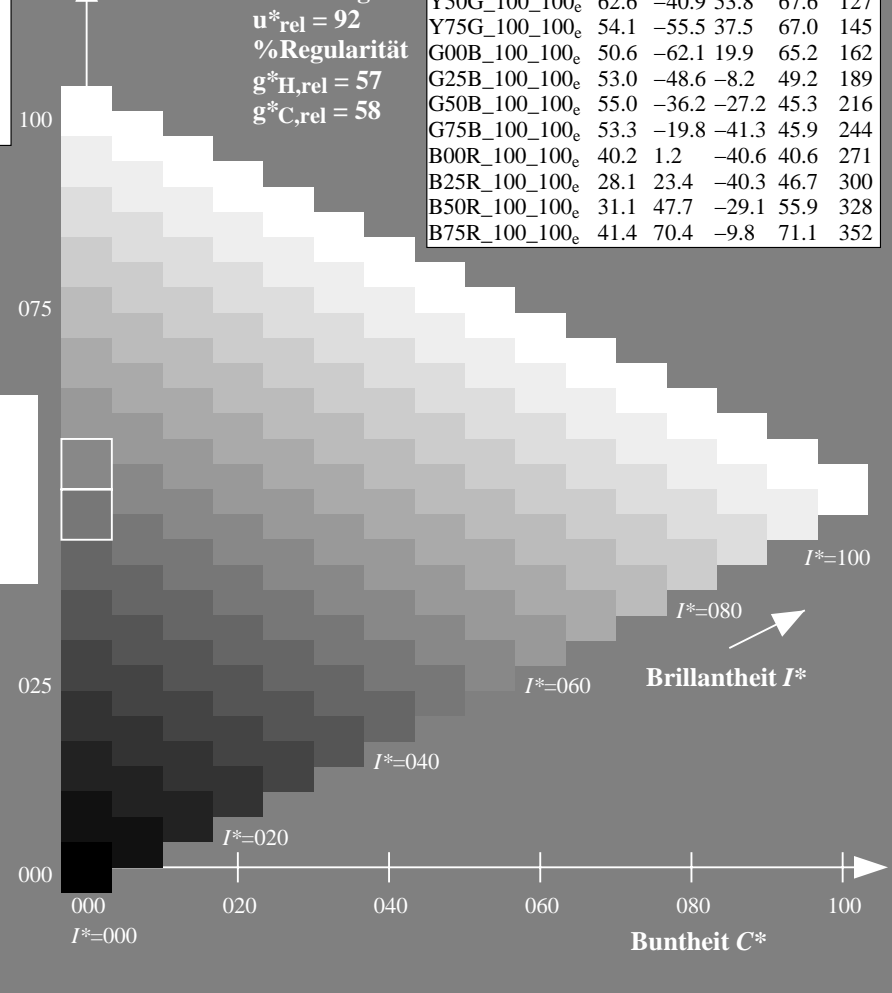
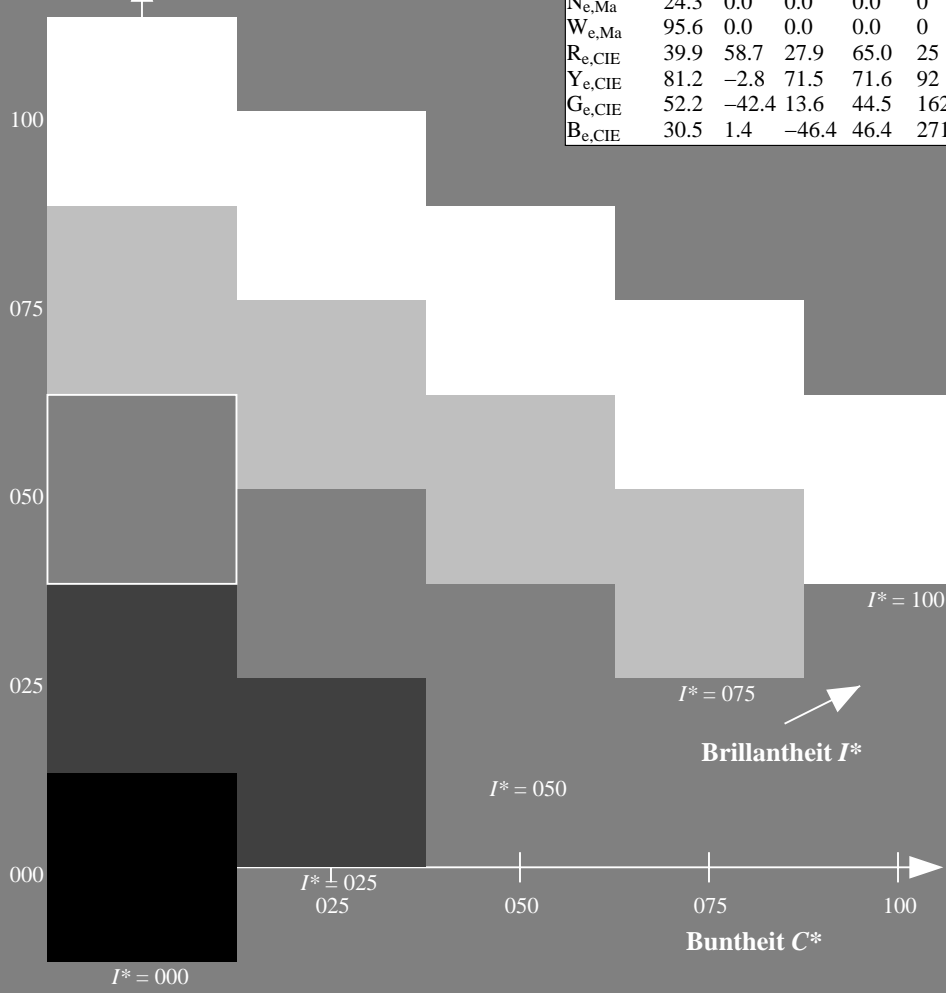
0.0 1.0 0.5 1.0 1.0

Dreiecks-Helligkeit T^*

%Umfang
 $u^*_{rel} = 92$
%Regularität
 $g^*_{H,rel} = 57$
 $g^*_{C,rel} = 58$

ORS20a; adaptierte CIELAB-Daten

| H^*_e | $L^*=L^*_a$ | a^*_a | b^*_a | $C^*_{ab,a}$ | $h^*_{ab,a}$ |
|----------------|-------------|---------|---------|--------------|--------------|
| R00Y_100_100_e | 45.6 | 72.2 | 34.4 | 80.0 | 25 |
| R25Y_100_100_e | 50.5 | 59.2 | 51.6 | 78.6 | 41 |
| R50Y_100_100_e | 60.2 | 38.2 | 63.4 | 74.1 | 58 |
| R75Y_100_100_e | 70.9 | 17.9 | 75.9 | 77.9 | 76 |
| Y00G_100_100_e | 83.6 | -3.6 | 90.4 | 90.4 | 92 |
| Y25G_100_100_e | 74.5 | -25.0 | 74.3 | 78.4 | 108 |
| Y50G_100_100_e | 62.6 | -40.9 | 53.8 | 67.6 | 127 |
| Y75G_100_100_e | 54.1 | -55.5 | 37.5 | 67.0 | 145 |
| G00B_100_100_e | 50.6 | -62.1 | 19.9 | 65.2 | 162 |
| G25B_100_100_e | 53.0 | -48.6 | -8.2 | 49.2 | 189 |
| G50B_100_100_e | 55.0 | -36.2 | -27.2 | 45.3 | 216 |
| G75B_100_100_e | 53.3 | -19.8 | -41.3 | 45.9 | 244 |
| B00R_100_100_e | 40.2 | 1.2 | -40.6 | 40.6 | 271 |
| B25R_100_100_e | 28.1 | 23.4 | -40.3 | 46.7 | 300 |
| B50R_100_100_e | 31.1 | 47.7 | -29.1 | 55.9 | 328 |
| B75R_100_100_e | 41.4 | 70.4 | -9.8 | 71.1 | 352 |



Siehe ähnliche Dateien: <http://130.149.60.45/~farbmetrik/QG88/QG88.HTM>
Technische Information: <http://www.ps.bam.de> oder <http://130.149.60.45/~farbmetrik>

TUB-Registrierung: 20130201-QG88/QG88L0NP.PDF /.PS TUB-Material: Code=rh4ta
Anwendung für Messung von Offsetdruck-Ausgabe, Separation cmy0 (CMY0)

0-013331-L0 QG880-71

TUB-Prüfvorlage QG88; Buntoncode: $H^*_e=G25B_e$
Prüfvorlage nach DIN 33872, 3D=0, de=1, cmy0

Eingabe: $rgb/cmyk \rightarrow rgb_e$
Ausgabe: Transfer nach $cmy0_e$

0-013331-F0

Ein- und Ausgabe: Offset-Reflektiv-System ORS18a für relativen CIELAB-Bunton $h_{ab,a,rel} = h_{ab}/360 = 189/360 = 0.52$

$H^*_e = G25B_e$

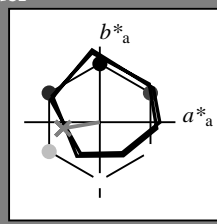
Daten für jede Geräte- (d) oder Elementarfarbe (e):

HIC^*_e

Buntoncode für die Farben dieser Seite:

$H^*_e = G25B_e$

Dreiecks-Helligkeit T^*



ORS20a; adaptierte CIELAB-Daten

| Name | $L^*=L^*_a a^*_a$ | b^*_a | $C^*_{ab,a}$ | $h^*_{ab,a}$ |
|--------|-------------------|---------|--------------|--------------|
| Re,Ma | 45.6 | 72.2 | 34.4 | 80.0 |
| Ye,Ma | 83.6 | -3.6 | 90.4 | 90.4 |
| Ge,Ma | 50.6 | -62.1 | 19.9 | 65.2 |
| Ce,Ma | 55.0 | -36.2 | -27.2 | 45.3 |
| Be,Ma | 40.2 | 1.2 | -40.6 | 40.6 |
| Me,Ma | 31.1 | 47.7 | -29.1 | 55.9 |
| Ne,Ma | 24.3 | 0.0 | 0.0 | 0.0 |
| We,Ma | 95.6 | 0.0 | 0.0 | 0.0 |
| Re,CIE | 39.9 | 58.7 | 27.9 | 65.0 |
| Ye,CIE | 81.2 | -2.8 | 71.5 | 71.6 |
| Ge,CIE | 52.2 | -42.4 | 13.6 | 44.5 |
| Be,CIE | 30.5 | 1.4 | -46.4 | 46.4 |

Daten für Maximalfarbe (Ma):

$LabCh^*_{e, Ma}: 53 -48 -8 49 189$

$HIC^*_{e, Ma}: G25B_{100_{100}_e}$

$rgbic^*_{e, Ma}$:

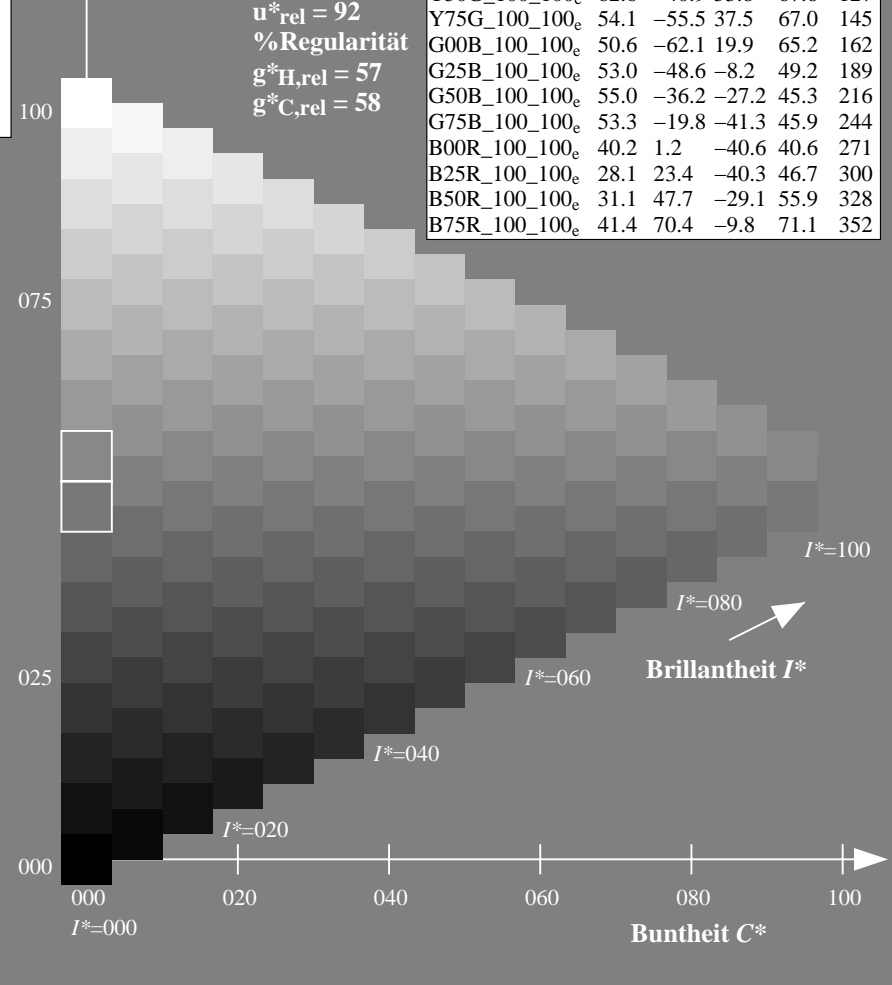
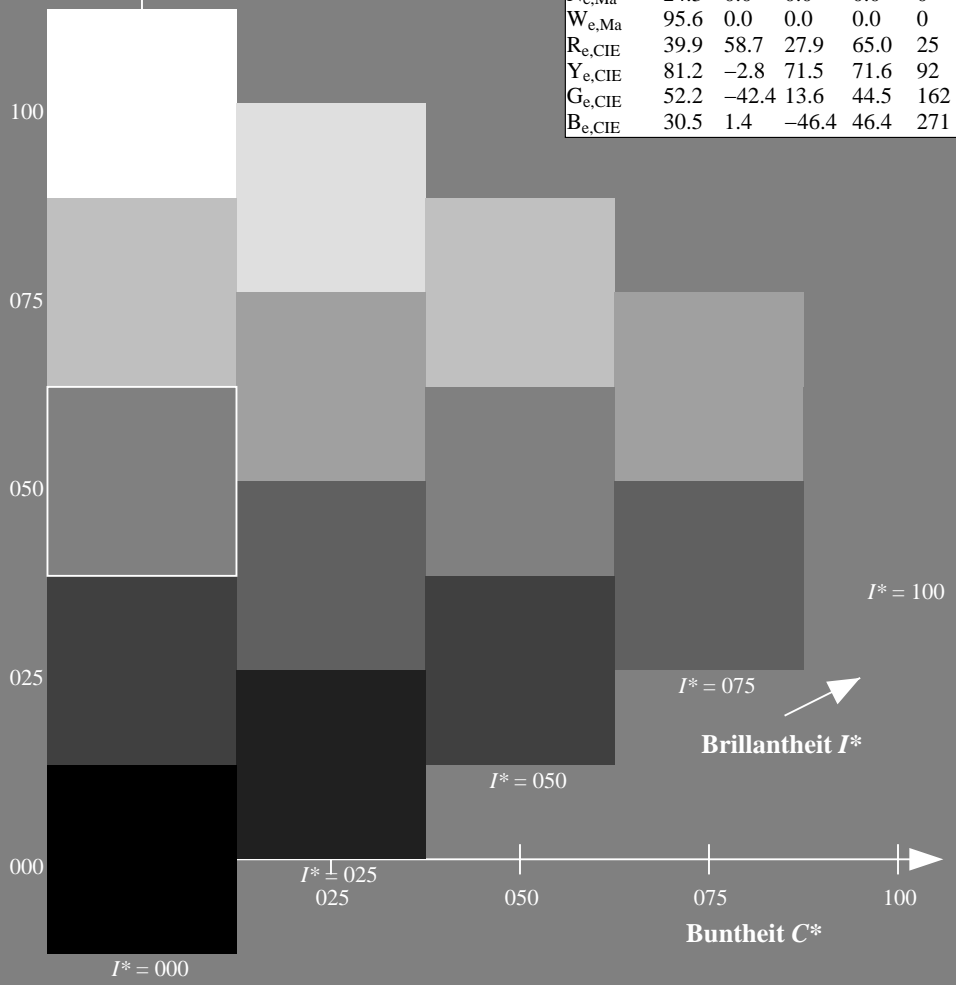
0.0 1.0 0.5 1.0 1.0

Dreiecks-Helligkeit T^*

%Umfang
 $u^*_{rel} = 92$
%Regularität
 $g^*_{H,rel} = 57$
 $g^*_{C,rel} = 58$

ORS20a; adaptierte CIELAB-Daten

| H^*_e | $L^*=L^*_a a^*_a$ | b^*_a | $C^*_{ab,a}$ | $h^*_{ab,a}$ |
|----------------|-------------------|---------|--------------|--------------|
| R00Y_100_100_e | 45.6 | 72.2 | 34.4 | 80.0 |
| R25Y_100_100_e | 50.5 | 59.2 | 51.6 | 78.6 |
| R50Y_100_100_e | 60.2 | 38.2 | 63.4 | 74.1 |
| R75Y_100_100_e | 70.9 | 17.9 | 75.9 | 77.9 |
| Y00G_100_100_e | 83.6 | -3.6 | 90.4 | 90.4 |
| Y25G_100_100_e | 74.5 | -25.0 | 74.3 | 78.4 |
| Y50G_100_100_e | 62.6 | -40.9 | 53.8 | 67.6 |
| Y75G_100_100_e | 54.1 | -55.5 | 37.5 | 67.0 |
| G00B_100_100_e | 50.6 | -62.1 | 19.9 | 65.2 |
| G25B_100_100_e | 53.0 | -48.6 | -8.2 | 49.2 |
| G50B_100_100_e | 55.0 | -36.2 | -27.2 | 45.3 |
| G75B_100_100_e | 53.3 | -19.8 | -41.3 | 45.9 |
| B00R_100_100_e | 40.2 | 1.2 | -40.6 | 40.6 |
| B25R_100_100_e | 28.1 | 23.4 | -40.3 | 46.7 |
| B50R_100_100_e | 31.1 | 47.7 | -29.1 | 55.9 |
| B75R_100_100_e | 41.4 | 70.4 | -9.8 | 71.1 |



Siehe ähnliche Dateien: <http://130.149.60.45/~farbmetrik/QG88/QG88.HTM>
Technische Information: <http://www.ps.bam.de> oder <http://130.149.60.45/~farbmetrik>

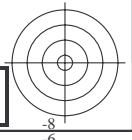
TUB-Registrierung: 20130201-QG88/QG88L0NP.PDF /.PS TUB-Material: Code=rh4ta
Anwendung für Messung von Offsetdruck-Ausgabe, Separation cmy0 (CMY0)

0-013431-L0 QG880-71

TUB-Prüfvorlage QG88; Buntoncode: $H^*_e=G25B_e$
Prüfvorlage nach DIN 33872, 3D=0, de=1, cmy0

Eingabe: $rgb/cmyk \rightarrow rgb_e$
Ausgabe: Transfer nach $cmy0_e$

0-013431-F0



Siehe ähnliche Dateien: <http://130.149.60.45/~farbmetrik/QG88/QG88.HTM>
Technische Information: <http://www.ps.bam.de> oder <http://130.149.60.45/~farbmetrik>

0-013531-L0 QG880-71

TUB-Prüfvorlage QG88; Bunttoncode: $H^*_e=G25B_e$
Prüfvorlage nach DIN 33872, 3D=0, $de=1$, $cmy0$

Eingabe: $rgb/cmyk \rightarrow rgb_e$
Ausgabe: Transfer nach $cmy0_e$

0-013531=F0

Daten der Maximalfarbe M im Farbmetrik-System Offset-Normdruck; Separation cmy0*, D65 für Ein- oder Ausgabe; Sechs Bunttonwinkel der 60-Grad Standardfarben RYGBM_s: $h_{ab,ds} = 30.0, 90.0, 150.0, 210.0, 270.0, 330.0$;
 Sechs Bunttonwinkel der Gerätefarben RYGBM_d: $h_{ab,d} = 32.3, 96.1, 155.5, 238.4, 306.2, 359.8$; Sechs Bunttonwinkel der Elementarfarben RYGBM_e: $h_{ab,e} = 25.5, 92.3, 162.2, 217.0, 271.7, 328.6$

J=Y_d YellowGelb
 $LCH^*_d = 87.8 \ 96.0 \ 96.1$
 $LAB^*_d = 87.8 \ -10.2 \ 95.4$
 $rgb^*_d = 1.0 \ 1.0 \ 0.0$

L=G_d leaf-greenLaubgrün
 $LCH^*_d = 50.0 \ 71.4 \ 155.5$
 $LAB^*_d = 50.0 \ -65.0 \ 29.6$
 $rgb^*_d = 0.0 \ 1.0 \ 0.0$

C=C_d cyan-blueCyanblau
 $LCH^*_d = 56.8 \ 48.7 \ 238.4$
 $LAB^*_d = 56.8 \ -25.5 \ -41.5$
 $rgb^*_d = 0.0 \ 1.0 \ 1.0$

O=R_d orange-redOrangerot
 $LCH^*_d = 45.4 \ 83.9 \ 32.3$
 $LAB^*_d = 45.4 \ 70.9 \ 44.8$
 $rgb^*_d = 1.0 \ 0.0 \ 0.0$

M=M_d magenta-redMagentarot
 $LCH^*_d = 46.1 \ 79.3 \ 359.8$
 $LAB^*_d = 46.1 \ 79.3 \ -0.2$
 $rgb^*_d = 1.0 \ 0.0 \ 1.0$

V=B_d violet-blueViolettblau
 $LCH^*_d = 25.0 \ 50.0 \ 306.2$
 $LAB^*_d = 25.0 \ 29.5 \ -40.4$
 $rgb^*_d = 0.0 \ 0.0 \ 1.0$

Y_e yellowGelb
 $LCH^*_e = 83.6 \ 90.4 \ 92.3$
 $LAB^*_e = 83.6 \ -3.6 \ 90.4$
 $rgb^*_{de} = 1.0 \ 0.878 \ 0.0$

G_e greenGrün
 $LCH^*_e = 50.6 \ 65.2 \ 162.2$
 $LAB^*_e = 50.6 \ -62.1 \ 19.9$
 $rgb^*_{de} = 0.0 \ 1.0 \ 0.151$

C_e blue-greenBlaugrün
 $LCH^*_e = 55.0 \ 45.3 \ 216.9$
 $LAB^*_e = 55.0 \ -36.2 \ -27.2$
 $rgb^*_{de} = 0.0 \ 1.0 \ 0.747$

B_e blueBlau
 $LCH^*_e = 40.2 \ 40.6 \ 271.7$
 $LAB^*_e = 40.2 \ 1.2 \ -40.6$
 $rgb^*_{de} = 0.0 \ 0.458 \ 1.0$

R_e redRot
 $LCH^*_e = 45.6 \ 80.0 \ 25.4$
 $LAB^*_e = 45.6 \ 72.2 \ 34.4$
 $rgb^*_{de} = 1.0 \ 0.0 \ 0.254$

M_e blue-redBlaurot
 $LCH^*_e = 31.1 \ 55.9 \ 328.6$
 $LAB^*_e = 31.1 \ 47.7 \ -29.1$
 $rgb^*_{de} = 0.321 \ 0.0 \ 1.0$

standard Standard-CIELAB (a*_s, b*_s) chroma diagram-Diagramm

Y_s yellowGelb
 $LCH^*_s = 81.4 \ 87.9 \ 90.0$
 $LAB^*_s = 81.4 \ 0.0 \ 87.9$
 $rgb^*_{ds} = 1.0 \ 0.828 \ 0.0$

G_s greenGrün
 $LCH^*_s = 52.3 \ 68.9 \ 150.0$
 $LAB^*_s = 52.3 \ -59.6 \ 34.4$
 $rgb^*_{ds} = 0.062 \ 1.0 \ 0.0$

C_s blue-greenBlaugrün
 $LCH^*_s = 54.5 \ 45.7 \ 210.0$
 $LAB^*_s = 54.5 \ -39.6 \ -22.8$
 $rgb^*_{ds} = 0.0 \ 1.0 \ 0.685$

R_s redRot
 $LCH^*_s = 45.5 \ 82.4 \ 30.0$
 $LAB^*_s = 45.5 \ 71.3 \ 41.2$
 $rgb^*_{ds} = 1.0 \ 0.0 \ 0.096$

M_s blue-redBlaurot
 $LCH^*_s = 31.6 \ 56.5 \ 330.0$
 $LAB^*_s = 31.6 \ 49.0 \ -28.2$
 $rgb^*_{ds} = 0.337 \ 0.0 \ 1.0$

B_s blueBlau
 $LCH^*_s = 40.9 \ 40.6 \ 270.0$
 $LAB^*_s = 40.9 \ 0.0 \ -40.6$
 $rgb^*_{ds} = 0.0 \ 0.479 \ 1.0$

Notes to the CIELAB chroma diagrams / Anmerkung zu den CIELAB-Buntheits-Diagrammen (a*_d, b*_d), (a*_s, b*_s), (a*_e, b*_e)

- For the 1. Für die rgb^*_e -input values the CIELAB data-Eingabedaten wurden die CIELAB-Daten LCH^*_e und LAB^*_e have been calculated.
- For the calculation of the standard hue angle $h_{ab,s}$ use for any device values rgb^*_e the equation:

$$h_{ab,s} = \text{atan} [r^*_d \cos(30) + g^*_d \cos(150)] / [r^*_d \sin(30) + g^*_d \sin(150) + b^*_d \sin(270)] \quad (1)$$
- For the 48 or 360 equally spaced standard hue angles 3. Für die 48 oder 360 gleichabständig gestuften Standard-Buntonwinkel $h_{ab,s}$ of the color the seven hue angles of the 60 degree colours die sieben Buntonwinkel der 60Grad-Farben s : $h_{ab,s} = 30.0, 90.0, 150.0, 210.0, 270.0, 330.0, 390.0$ and the equations for a 48 and 360 step hue circle: und die Gleichungen für einen 48- und 360-stufigen Buntonkreis:

$$h_{48ab,sij} = h_{ab,si} + j [h_{ab,si+1} - h_{ab,si}] / 8 \quad (i = 0, 1, \dots, 5; j = 0, 1, \dots, 7) \quad (2)$$

$$h_{360ab,sij} = h_{ab,si} + j [h_{ab,si+1} - h_{ab,si}] / 60 \quad (i = 0, 1, \dots, 5; j = 0, 1, \dots, 59) \quad (3)$$
- For the 48 or 360 elementary hue angles 4. Für die 48 oder 360 Elementar-Buntonwinkel $h_{ab,e}$ of the colours of maximum chroma der Far the seven hue angles of the elementary colours die sieben Buntonwinkel der Elementarfarben e : $h_{ab,e} = 25.5, 92.3, 162.2, 217.0, 271.7, 328.6$ and the equations for a 48 and 360 step elementary hue circle: und die Gleichungen für einen 48- und 360-stufigen Elementar-Buntonkreis:

$$h_{48ab,eij} = h_{ab,ei} + j [h_{ab,ei+1} - h_{ab,ei}] / 8 \quad (i = 0, 1, \dots, 5; j = 0, 1, \dots, 7) \quad (4)$$

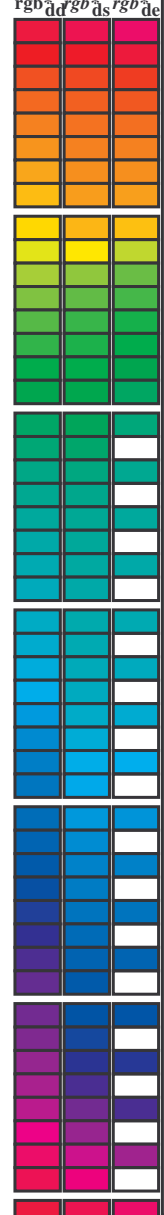
$$h_{360ab,eij} = h_{ab,ei} + j [h_{ab,ei+1} - h_{ab,ei}] / 60 \quad (i = 0, 1, \dots, 5; j = 0, 1, \dots, 59) \quad (5)$$
- For any elementary hue angle 5. Für jeden Elementar-Buntonwinkel $h_{ab,e}$ there is a well defined device hue angle gibt es einen genau defini see the following tables, columns 1 to 5 or 1 to 4. siehe die folgenden Tabellen, Spalten 1 bis 5 oder 1 bis 4.
- The values 6. Die Werte rgb^*_e produce the output of the device-independent elementary hues erzeugen die Ausgabe der geräteunabhängigen

Technische Information: <http://www.ps.bam.de> oder <http://130.149.60.45/~farbmetrik>
 Siehe ähnliche Dateien: <http://130.149.60.45/~farbmetrik/QG88/QG88.HTM>
 TUB-Prüfvorlage QG88; Buntoncode: H*_e=G25B_e

TUB-Prüfvorlage QG88; Buntoncode: H*_e=G25B_e
 Anwendung für Messung von Offsetdruck-Ausgabe, Separation cmy0 (CMY0)

Daten der Maximalfarbe M im Farbmetrik-System Offset-Normdruck; Separation cmy0*, D65 für Ein- oder Ausgabe; Sechs Bunttonwinkel der 60-Grad Standardfarben RYGBM_c: h_{ab,ds} = 30.0, 90.0, 150.0, 210.0, 270.0, 330.0; Sechs Bunttonwinkel der Gerätefarben RYGBM_d: h_{ab,d} = 32.3, 96.1, 155.5, 238.4, 306.2, 359.8; Sechs Bunttonwinkel der Elementarfarben RYGBM_e: h_{ab,e} = 25.5, 92.3, 162.2, 217.0, 271.7, 328.6

Table with 18 columns: h_{ab,d}, h_{ab,s}, h_{ab,e}, r_{gb}*_{dd}64M, LAB*_{ddx64M} (x=LabCh), r_{gb}*_{ddx361M}, LAB*_{ddx361M} (x=LabCh), r_{gb}*_{dsx361M}, LAB*_{dsx361M} (x=LabCh), r_{gb}*_{dex361M}, LAB*_{dex361M}, LAB*_{dex361M}. Rows contain numerical data for various color patches.



Siehe ähnliche Dateien: http://130.149.60.45/~farbmetrik/QG88/QG88LONP.PDF /.PS
Technische Information: http://www.ps.bam.de oder http://130.149.60.45/~farbmetrik

TUB-Registrierung: 20130201-QG88/QG88LONP.PDF /.PS
Anwendung für Messung von Offsetdruck-Ausgabe, Separation cmy0 (CMY0)
TUB-Material: Code=rh4ta

Daten der Maximalfarbe M im Farbmetrik-System Offset-Normdruck; Separation cmy0*, D65 für Ein- oder Ausgabe; Sechs Bunttonwinkel der 60-Grad Standardfarben RYGBCM_c: h_{ab,ds} = 30.0, 90.0, 150.0, 210.0, 270.0, 330.0; Sechs Bunttonwinkel der Gerätefarben RYGBCM_d: h_{ab,d} = 32.3, 96.1, 155.5, 238.4, 306.2, 359.8; Sechs Bunttonwinkel der Elementarfarben RYGBCM_e: h_{ab,e} = 25.5, 92.3, 162.2, 217.0, 271.7, 328.6

Table with columns: h_{ab,d}, h_{ab,s}, h_{ab,e}, rgb*_{dd}, dd64M, LAB*_{dd}, ddx64M (x=LabCh), rgb*_{ds}, dex361M, LAB*_{ds}, dex361M, and columns for color bars (rgb*_{dd}, rgb*_{ds}, rgb*_{de}). Rows contain numerical data for various color patches.

Siehe ähnliche Dateien: http://130.149.60.45/~farbmetrik/QG88/QG88.HTM Technische Information: http://www.ps.bam.de oder http://130.149.60.45/~farbmetrik

TUB-Registrierung: 20130201-QG88/QG88LONP.PDF /.PS TUB-Material: Code=rhata Anwendung für Messung von Offsetdruck-Ausgabe, Separation cmy0 (CMY0)

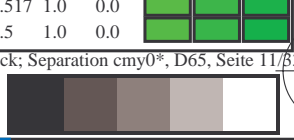


Technische Information: http://130.149.60.45/~farbmetrik/QG88/QG88L0NP.PDF /PS
 Siehe ähnliche Dateien: http://www.ps.bam.de oder http://130.149.60.45/~farbmetrik
 Technische Information: http://www.ps.bam.de oder http://130.149.60.45/~farbmetrik

Daten der Maximalfarbe M im Farbmetrik-System Offset-Normdruck; Separation cmy0*, D65 für Ein- oder Ausgabe; Sechs Bunttonwinkel der 60-Grad Standardfarben RYGBM: h_{ab,ds} = 30.0, 90.0, 150.0, 210.0, 270.0, 330.0; Sechs Bunttonwinkel der Gerätefarben RYGBM: h_{ab,d} = 32.3, 96.1, 155.5, 238.4, 306.2, 359.8; Sechs Bunttonwinkel der Elementarfarben RYGBM: h_{ab,e} = 25.5, 92.3, 162.2, 217.0, 271.7, 328.6

| <i>h</i> _{ab,d} | <i>h</i> _{ab,s} | <i>h</i> _{ab,e} | <i>rgb</i> [*] _{dd361M} | <i>LAB</i> [*] _{ddx361Mi (x=LabCh)} | <i>rgb</i> [*] _{ds361Mi} | <i>LAB</i> [*] _{dsx361Mi (x=LabCh)} | <i>rgb</i> [*] _{de361Mi} | <i>LAB</i> [*] _{dex361Mi (x=LabCh)} | <i>rgb</i> [*] _{dd361Mi} | <i>Y_d</i> | <i>Y_s</i> | <i>Y_e</i> | | |
|--------------------------|--------------------------|--------------------------|-------------------------------------------|-------------------------------------------------------|--------------------------------------------|-------------------------------------------------------|--------------------------------------------|-------------------------------------------------------|--------------------------------------------|----------------------|----------------------|----------------------|-----|-----|
| 86 | 75 | 75 | 1.0 | 0.75 | 0.0 | 77.9 | 5.4 | 83.8 | 84.0 | 86 | 1.0 | 0.75 | 0.0 | |
| 87 | 76 | 76 | 1.0 | 0.766 | 0.0 | 78.6 | 4.3 | 84.7 | 84.8 | 87 | 1.0 | 0.767 | 0.0 | |
| 87 | 77 | 77 | 1.0 | 0.783 | 0.0 | 79.4 | 3.2 | 85.6 | 85.7 | 87 | 1.0 | 0.783 | 0.0 | |
| 88 | 78 | 78 | 1.0 | 0.8 | 0.0 | 80.1 | 2.0 | 86.5 | 86.5 | 88 | 1.0 | 0.8 | 0.0 | |
| 89 | 79 | 80 | 1.0 | 0.816 | 0.0 | 80.8 | 0.8 | 87.3 | 87.3 | 89 | 1.0 | 0.817 | 0.0 | |
| 90 | 80 | 81 | 1.0 | 0.833 | 0.0 | 81.6 | -0.3 | 88.2 | 88.2 | 90 | 1.0 | 0.833 | 0.0 | |
| 91 | 81 | 82 | 1.0 | 0.85 | 0.0 | 82.3 | -1.5 | 89.0 | 89.0 | 91 | 1.0 | 0.85 | 0.0 | |
| 91 | 82 | 83 | 1.0 | 0.866 | 0.0 | 83.1 | -2.8 | 89.8 | 89.8 | 91 | 1.0 | 0.867 | 0.0 | |
| 92 | 83 | 84 | 1.0 | 0.883 | 0.0 | 83.7 | -3.8 | 90.5 | 90.6 | 92 | 1.0 | 0.883 | 0.0 | |
| 92 | 84 | 85 | 1.0 | 0.9 | 0.0 | 84.3 | -4.7 | 91.3 | 91.4 | 92 | 1.0 | 0.9 | 0.0 | |
| 93 | 85 | 86 | 1.0 | 0.916 | 0.0 | 84.9 | -5.6 | 92.0 | 92.2 | 93 | 1.0 | 0.917 | 0.0 | |
| 94 | 86 | 87 | 1.0 | 0.933 | 0.0 | 85.5 | -6.5 | 92.7 | 92.9 | 94 | 1.0 | 0.933 | 0.0 | |
| 94 | 87 | 88 | 1.0 | 0.95 | 0.0 | 86.0 | -7.4 | 93.4 | 93.7 | 94 | 1.0 | 0.95 | 0.0 | |
| 95 | 88 | 90 | 1.0 | 0.966 | 0.0 | 86.6 | -8.3 | 94.1 | 94.5 | 95 | 1.0 | 0.967 | 0.0 | |
| 95 | 89 | 91 | 1.0 | 0.983 | 0.0 | 87.2 | -9.2 | 94.8 | 95.2 | 95 | 1.0 | 0.983 | 0.0 | |
| 96 | 90 | 92 | 1.0 | 1.0 | 0.0 | 87.8 | -10.2 | 95.4 | 96.0 | 96 | 1.0 | 1.0 | 0.0 | |
| 96 | 91 | 93 | 0.983 | 1.0 | 0.0 | 87.3 | -10.7 | 94.6 | 95.2 | 96 | 1.0 | 0.983 | 1.0 | 0.0 |
| 96 | 92 | 94 | 0.966 | 1.0 | 0.0 | 86.8 | -11.2 | 93.8 | 94.5 | 96 | 1.0 | 0.967 | 1.0 | 0.0 |
| 97 | 93 | 95 | 0.95 | 1.0 | 0.0 | 86.4 | -11.7 | 93.0 | 93.7 | 97 | 1.0 | 0.95 | 1.0 | 0.0 |
| 97 | 94 | 96 | 0.933 | 1.0 | 0.0 | 85.9 | -12.2 | 92.2 | 93.0 | 97 | 1.0 | 0.933 | 1.0 | 0.0 |
| 97 | 95 | 98 | 0.916 | 1.0 | 0.0 | 85.5 | -12.7 | 91.3 | 92.2 | 97 | 1.0 | 0.917 | 1.0 | 0.0 |
| 98 | 96 | 99 | 0.9 | 1.0 | 0.0 | 85.0 | -13.2 | 90.5 | 91.5 | 98 | 1.0 | 0.9 | 1.0 | 0.0 |
| 98 | 97 | 100 | 0.883 | 1.0 | 0.0 | 84.5 | -13.6 | 89.7 | 90.7 | 98 | 1.0 | 0.883 | 1.0 | 0.0 |
| 99 | 98 | 101 | 0.866 | 1.0 | 0.0 | 84.1 | -14.1 | 88.9 | 90.0 | 99 | 1.0 | 0.867 | 1.0 | 0.0 |
| 99 | 99 | 102 | 0.85 | 1.0 | 0.0 | 83.6 | -14.6 | 88.1 | 89.3 | 99 | 1.0 | 0.85 | 1.0 | 0.0 |
| 99 | 100 | 103 | 0.833 | 1.0 | 0.0 | 83.1 | -15.1 | 87.4 | 88.7 | 99 | 1.0 | 0.833 | 1.0 | 0.0 |
| 100 | 101 | 105 | 0.816 | 1.0 | 0.0 | 82.6 | -15.6 | 86.6 | 88.0 | 100 | 1.0 | 0.817 | 1.0 | 0.0 |
| 100 | 102 | 106 | 0.8 | 1.0 | 0.0 | 82.2 | -16.1 | 85.8 | 87.3 | 100 | 1.0 | 0.8 | 1.0 | 0.0 |
| 101 | 103 | 107 | 0.783 | 1.0 | 0.0 | 81.7 | -16.6 | 85.1 | 86.7 | 101 | 1.0 | 0.783 | 1.0 | 0.0 |
| 101 | 104 | 108 | 0.766 | 1.0 | 0.0 | 81.2 | -17.0 | 84.3 | 86.0 | 101 | 1.0 | 0.767 | 1.0 | 0.0 |
| 101 | 105 | 109 | 0.75 | 1.0 | 0.0 | 80.7 | -17.5 | 83.5 | 85.3 | 101 | 1.0 | 0.75 | 1.0 | 0.0 |
| 102 | 106 | 110 | 0.733 | 1.0 | 0.0 | 80.0 | -18.4 | 82.5 | 84.6 | 102 | 1.0 | 0.733 | 1.0 | 0.0 |
| 103 | 107 | 112 | 0.716 | 1.0 | 0.0 | 79.3 | -19.3 | 81.5 | 83.8 | 103 | 1.0 | 0.717 | 1.0 | 0.0 |
| 104 | 108 | 113 | 0.7 | 1.0 | 0.0 | 78.5 | -20.2 | 80.5 | 83.0 | 104 | 1.0 | 0.7 | 1.0 | 0.0 |
| 104 | 109 | 114 | 0.683 | 1.0 | 0.0 | 77.8 | -21.1 | 79.4 | 82.2 | 104 | 1.0 | 0.683 | 1.0 | 0.0 |
| 105 | 110 | 115 | 0.666 | 1.0 | 0.0 | 77.1 | -22.0 | 78.4 | 81.4 | 105 | 1.0 | 0.667 | 1.0 | 0.0 |
| 106 | 111 | 116 | 0.65 | 1.0 | 0.0 | 76.4 | -22.8 | 77.3 | 80.6 | 106 | 1.0 | 0.65 | 1.0 | 0.0 |
| 107 | 112 | 117 | 0.633 | 1.0 | 0.0 | 75.6 | -23.6 | 76.2 | 79.8 | 107 | 1.0 | 0.633 | 1.0 | 0.0 |
| 108 | 113 | 119 | 0.616 | 1.0 | 0.0 | 75.0 | -24.4 | 75.1 | 79.0 | 108 | 1.0 | 0.617 | 1.0 | 0.0 |
| 108 | 114 | 120 | 0.6 | 1.0 | 0.0 | 74.3 | -25.3 | 73.9 | 78.1 | 108 | 1.0 | 0.6 | 1.0 | 0.0 |
| 109 | 115 | 121 | 0.583 | 1.0 | 0.0 | 73.7 | -26.1 | 72.7 | 77.2 | 109 | 1.0 | 0.583 | 1.0 | 0.0 |
| 110 | 116 | 122 | 0.566 | 1.0 | 0.0 | 73.1 | -26.9 | 71.4 | 76.3 | 110 | 1.0 | 0.567 | 1.0 | 0.0 |
| 111 | 117 | 123 | 0.55 | 1.0 | 0.0 | 72.4 | -27.6 | 70.2 | 75.5 | 111 | 1.0 | 0.55 | 1.0 | 0.0 |
| 112 | 118 | 124 | 0.533 | 1.0 | 0.0 | 71.8 | -28.3 | 69.0 | 74.6 | 112 | 1.0 | 0.533 | 1.0 | 0.0 |
| 113 | 119 | 126 | 0.516 | 1.0 | 0.0 | 71.2 | -29.0 | 67.7 | 73.7 | 113 | 1.0 | 0.517 | 1.0 | 0.0 |
| 114 | 120 | 127 | 0.5 | 1.0 | 0.0 | 70.6 | -29.7 | 66.5 | 72.8 | 114 | 1.0 | 0.5 | 1.0 | 0.0 |

TUB-Registrierung: 20130201-QG88/QG88L0NP.PDF /PS
 Anwendung für Messung von Offsetdruck-Ausgabe, Separation cmy0 (CMY0)
 TUB-Material: Code=rh4ta



Daten der Maximalfarbe M im Farbmetrik-System Offset-Normdruck; Separation cmy0*, D65 für Ein- oder Ausgabe; Sechs Bunttonwinkel der 60-Grad Standardfarben RYGBM_c; h_{ab,ds} = 30.0, 90.0, 150.0, 210.0, 270.0, 330.0; Sechs Bunttonwinkel der Gerätefarben RYGBM_d; h_{ab,d} = 32.3, 96.1, 155.5, 238.4, 306.2, 359.8; Sechs Bunttonwinkel der Elementarfarben RYGBM_e; h_{ab,e} = 25.5, 92.3, 162.2, 217.0, 271.7, 328.6

Table with 30 columns: h_{ab,d}, h_{ab,s}, h_{ab,e}, r_{gb}*, d_{s361M}, LAB*, d_{dx361Mi} (x=LabCh), r_{gb}*, d_{s361Mi}, LAB*, d_{dsx361Mi} (x=LabCh), r_{gb}*, d_{s361Mi}, LAB*, d_{de361Mi}, r_{gb}*, d_{s361Mi}, LAB*, d_{dex361Mi} (x=LabCh), r_{gb}*, d_{s361Mi}, r_{gb}%, d_{ds361Mi}, r_{gb}%, d_{s361Mi}, r_{gb}%, d_{de361Mi}. Rows 167-238.

0-0131231-L0 QG880-71 LAB*la0, YN=0%, XYZnw=3.6, 4.2, 6.1, 85.4, 89.1, 104.8, LAB*nw=24.4, 0.0, 0.0, 95.6, 0.0, 0.0

Ausgabe: Offset-Normdruck; Separation cmy0*, D65, Seite 13/33

TUB-Prüfvorlage QG88; Bunttoncode: H*e=G25B_e
48-stufige Farbkreise; r_{gb}-LabCh*Tabellen

Eingabe: r_{gb}/cmyk -> r_{gb}_e
Ausgabe: Transfer nach cmy0_e

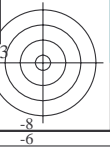
Siehe ähnliche Dateien: http://130.149.60.45/~farbmetrik/QG88/QG88.HTM
Technische Information: http://www.ps.bam.de oder http://130.149.60.45/~farbmetrik

TUB-Registrierung: 20130201-QG88/QG88LONP.PDF /.PS
Anwendung für Messung von Offsetdruck-Ausgabe, Separation cmy0 (CMY0)
TUB-Material: Code=rh4ta

Siehe ähnliche Dateien: http://130.149.60.45/~farbmetrik/QG88/QG88L0NP.PDF /PS
Technische Information: http://www.ps.bam.de oder http://130.149.60.45/~farbmetrik

Table with multiple columns (h_ab,d, h_ab,s, h_ab,e, rrgb*, etc.) and rows (289-340) representing color calibration data for various color patches.

TUB-Registrierung: 20130201-QG88/QG88L0NP.PDF /PS
Anwendung für Messung von Offsetdruck-Ausgabe, Separation cmy0 (CMY0)
TUB-Material: Code=rh4ta



Daten der Maximalfarbe M im Farbmetrik-System Offset-Normdruck; Separation cmy0*, D65 für Ein- oder Ausgabe; Sechs Bunttonwinkel der 60-Grad Standardfarben RYGBM_c: h_{ab,ds} = 30.0, 90.0, 150.0, 210.0, 270.0, 330.0; Sechs Bunttonwinkel der Gerätefarben RYGBM_d: h_{ab,d} = 32.3, 96.1, 155.5, 238.4, 306.2, 359.8; Sechs Bunttonwinkel der Elementarfarben RYGBM_e: h_{ab,e} = 25.5, 92.3, 162.2, 217.0, 271.7, 328.6

Table with columns for color codes (h_{ab,d}, h_{ab,s}, h_{ab,e}), Lab* values (L*, a*, b*), and CMY0 values (C, M, Y, O). Rows represent individual color patches from 340 to 366.



Siehe ähnliche Dateien: http://130.149.60.45/~farbmetrik/QG88/QG88.HTM
Technische Information: http://www.ps.bam.de oder http://130.149.60.45/~farbmetrik

TUB-Registrierung: 20130201-QG88/QG88L0NP.PDF /.PS
Anwendung für Messung von Offsetdruck-Ausgabe, Separation cmy0 (CMY0)
TUB-Material: Code=rh4ta

http://130.149.60.45/~farbmetrik/QG88/QG88LONP.PDF /.PS; Transfer Ausgabe
N: Keine 3D-Linearisierung (OL) in Datei (F) oder PS-Startup (S), Seite 18/33

Table with columns: nrf, HHC*Fe, rpb*Fe, icr*Fe, hsa*Fe, rpb*Fe, LabCH*Fe, LabCH*Fe, rpb*Fe, DF*Fe, HAm*Fe, rpb*Fe, LabCH*Fe, rpb*Fe. Rows include color names like R00Y, R13Y, R25Y, etc.

Eingabe: rgb/cmyk -> rgbe
Ausgabe: Transfer nach cmy0e

TUB-Prüfvorlage QG88; Bunttoncode: H*e=G25Be
Farben und Farbabstände, ΔE*

QG880-7N, Seite 18/33-f

0-0131731-F0

0-0131731-F0



Table with columns: nrf, H#C#E, r#b#e, i#c#e, i#s#e, r#g#e, LabC#E, LabC#E, LabC#E, r#g#e, r#g#e, LabC#E, DF*E, r#g#e, r#g#e, LabC#E, DF*E, r#g#e, r#g#e, LabC#E, LabC#E, delta E*

Eingabe: rgb/cmyk -> rgbe
Ausgabe: Transfer nach cmy0e

TUB-Prüfvorlage QG88; Bunttoncode: H*e=G25Be
Farben und Farbabstände, ΔE*

TUB-Registrierung: 20130201-QG88/QG88L0NP.PDF / .PS TUB-Material: Code=rha4ta
Anwendung für Messung von Offsetdruck-Ausgabe, Separation cmy0 (CMY0)

Table with 80 rows (numbered 1-80) and multiple columns of colorimetric and technical data. Columns include H*E, RGB, Lab, D50, and other colorimetric values.

0-0131931-F0 TUB-Prüfvorlage QG88; Bunttoncode: H*e=G25Be
Farben und Farbabstände, ΔE*
Eingabe: rgb/cmyk -> rgbe
Ausgabe: Transfer nach cmy0e
delta E* = 10.9

Table with 16 columns: n, HHC*Fe, rpb*Fe, iet*Fe, hsa*Fe, rpb*Fe, LabCh*Fe, rpb*Fe, LabCh*Fe, rpb*Fe, LabCh*Fe, rpb*Fe, LabCh*Fe, rpb*Fe, LabCh*Fe, rpb*Fe. Rows 81-161.

Table with columns: n, HHC*Fe, rpb*Fe, iet*Fe, Hs*Fe, rpb*Fe, LabCH*Fe, LabCH*Fe, rpb*Fe, DF*Fe, HaMe, rpb*Fe, LabCH*Fe, LabCH*Fe, rpb*Fe. Rows list various color and registration patches.

Eingabe: rgb/cmyk -> rgbe
Ausgabe: Transfer nach cmy0e

TUB-Prüfvorlage QG88; Bunttoncode: H*e=G25Be
Farben und Farbabstände, ΔE*

QG8801L, Seite 23/33-F

0-0132231-F0

Table with columns: n, HHC*Fe, rpb*Fe, iet*Fe, Hs*Fe, rpb*Fe, LabCH*Fe, LabCH*Fe, rpb*Fe, DF*Fe, HaMk, LabCH*Fe, rpb*Fe, LabCH*Fe. Rows list various color and registration marks (e.g., R00Y, R00M, B00R, etc.) and their corresponding numerical values.

QG8801-TN, Seite 24/33-F

TUB-Prüfvorlage QG88; Bunttoncode: H*e=G25Be
Farben und Farbabstände, ΔE*

Eingabe: rgb/cmyk -> rgbe
Ausgabe: Transfer nach cmy0e

delta E** = 15,7



Table with columns: n, HHC*Fe, rpb*Fe, icr*Fe, Hs*Fe, rpb*Fe, LabCH*Fe, rpb*Fe, LabCH*Fe, DF*Fe, Hs*Fe, rpb*Fe, LabCH*Fe. Rows 405-485. Includes a delta F* = 15.9 note at the bottom right of the table area.

Eingabe: rgb/cmyk -> rgb
Ausgabe: Transfer nach cmy0e

http://130.149.60.45/~farbmetrik/QG88/QG88LONP.PDF / .PS; Transfer Ausgabe
N: Keine 3D-Linearisierung (OL) in Datei (F) oder PS-Startup (S), Seite 25/33

TUB-Prüfvorlage QG88; Bunttoncode: H* e = G25Be
Farben und Farbabstände, ΔE*

QG88-7N, Seite 25/33-F

0-0132431-F0

Table with columns: n, HHC*Fe, rpb*Fe, iet*Fe, ihs*Fe, rpb*Fe, LabCH*Fe, LabCH*Fe, rpb*Fe, LabCH*Fe, DF*Fe, rpb*Fe, LabCH*Fe, rpb*Fe, LabCH*Fe, LabCH*Fe. The table contains 566 rows of numerical data for various color and registration targets.

Eingabe: rgb/cmyk -> rgbe
Ausgabe: Transfer nach cmy0e

TUB-Prüfvorlage QG88; Bunttoncode: H*e=G25Be
Farben und Farbabstände, ΔE*

TUB-Registrierung: 20130201-QG88/QG88LONP.PDF /.PS TUB-Material: Code=rha4ta
Anwendung für Messung von Offsetdruck-Ausgabe, Separation cmy0 (CMY0)

Table with columns: n, HHC*Fe, rpb*Fe, iet*Fe, hsa*Fe, rpb*Fe, LabCH*Fe, LabCH*Fe, rpb*Fe, LabCH*Fe, DF*Fe, HaMe, rpb*Fe, LabCH*Fe, LabCH*Fe. Rows list various color and registration marks (e.g., NV_100%, G50B_100.02%, G50B_100.05%, etc.) and their corresponding numerical values.



Eingabe: rgb/cmyk -> rgbe
Ausgabe: Transfer nach cmy0e
delta E** = 9,5

TUB-Registrierung: 20130201-QG88/QG88LONP.PDF / .PS TUB-Material: Code=rha4ta
Anwendung für Messung von Offsetdruck-Ausgabe, Separation cmy0 (CMY0)

Table with 7 columns: n, HfC*Fe, rgB*Fe, iet*Fe, Hs*Fe, LabC*Fe, LabCh*Fe, DF*Fe, HaM*, rGb*Fe, LabCh*Fe, LabC*Fe, rGb*Fe, LabCh*Fe, HaM*, rGb*Fe, LabCh*Fe, LabC*Fe. Rows 891-971.

Eingabe: rgb/cmyk -> rgbe
Ausgabe: Transfer nach cmy0e
delta E* = 15.4
0-13031-F0
TUB-Prüfvorlage QG88; Bunttoncode: H*e=G25Be
Farben und Farbabstände, ΔE*

| n | HC*Fe | rgb*Fe | ict*Fe | hsa*Fe | rgb*Fe | LabCIE*Fe | hsa*Fe | LabCIE*Fe | rgb*Fe | DF*Fe | hsa*Fe | rgb*Fe | LabCIE*Fe | hsa*Fe | DF*Fe | hsa*Fe | rgb*Fe | LabCIE*Fe | |
|------|---------------|--------|--------|--------|--------|-----------|--------|-----------|--------|-------|--------|--------|-----------|--------|-------|--------|--------|-----------|-------|
| 1053 | NW_086e | 0.866 | 0.866 | 0.866 | 0.866 | 0.866 | 0.866 | 0.866 | 0.866 | 0.866 | 0.866 | 0.866 | 0.866 | 0.866 | 0.866 | 0.866 | 0.866 | 0.866 | 0.866 |
| 1054 | NW_093e | 0.933 | 0.933 | 0.933 | 0.933 | 0.933 | 0.933 | 0.933 | 0.933 | 0.933 | 0.933 | 0.933 | 0.933 | 0.933 | 0.933 | 0.933 | 0.933 | 0.933 | 0.933 |
| 1055 | NW_100e | 1.0 | 1.0 | 1.0 | 1.0 | 1.0 | 1.0 | 1.0 | 1.0 | 1.0 | 1.0 | 1.0 | 1.0 | 1.0 | 1.0 | 1.0 | 1.0 | 1.0 | 1.0 |
| 1056 | NW_006e | 0.066 | 0.066 | 0.066 | 0.066 | 0.066 | 0.066 | 0.066 | 0.066 | 0.066 | 0.066 | 0.066 | 0.066 | 0.066 | 0.066 | 0.066 | 0.066 | 0.066 | 0.066 |
| 1057 | NW_013e | 0.133 | 0.133 | 0.133 | 0.133 | 0.133 | 0.133 | 0.133 | 0.133 | 0.133 | 0.133 | 0.133 | 0.133 | 0.133 | 0.133 | 0.133 | 0.133 | 0.133 | 0.133 |
| 1058 | NW_020e | 0.2 | 0.2 | 0.2 | 0.2 | 0.2 | 0.2 | 0.2 | 0.2 | 0.2 | 0.2 | 0.2 | 0.2 | 0.2 | 0.2 | 0.2 | 0.2 | 0.2 | 0.2 |
| 1059 | NW_026e | 0.266 | 0.266 | 0.266 | 0.266 | 0.266 | 0.266 | 0.266 | 0.266 | 0.266 | 0.266 | 0.266 | 0.266 | 0.266 | 0.266 | 0.266 | 0.266 | 0.266 | 0.266 |
| 1060 | NW_033e | 0.333 | 0.333 | 0.333 | 0.333 | 0.333 | 0.333 | 0.333 | 0.333 | 0.333 | 0.333 | 0.333 | 0.333 | 0.333 | 0.333 | 0.333 | 0.333 | 0.333 | 0.333 |
| 1061 | NW_040e | 0.4 | 0.4 | 0.4 | 0.4 | 0.4 | 0.4 | 0.4 | 0.4 | 0.4 | 0.4 | 0.4 | 0.4 | 0.4 | 0.4 | 0.4 | 0.4 | 0.4 | 0.4 |
| 1062 | NW_046e | 0.466 | 0.466 | 0.466 | 0.466 | 0.466 | 0.466 | 0.466 | 0.466 | 0.466 | 0.466 | 0.466 | 0.466 | 0.466 | 0.466 | 0.466 | 0.466 | 0.466 | 0.466 |
| 1063 | NW_053e | 0.533 | 0.533 | 0.533 | 0.533 | 0.533 | 0.533 | 0.533 | 0.533 | 0.533 | 0.533 | 0.533 | 0.533 | 0.533 | 0.533 | 0.533 | 0.533 | 0.533 | 0.533 |
| 1064 | NW_059e | 0.593 | 0.593 | 0.593 | 0.593 | 0.593 | 0.593 | 0.593 | 0.593 | 0.593 | 0.593 | 0.593 | 0.593 | 0.593 | 0.593 | 0.593 | 0.593 | 0.593 | 0.593 |
| 1065 | NW_066e | 0.666 | 0.666 | 0.666 | 0.666 | 0.666 | 0.666 | 0.666 | 0.666 | 0.666 | 0.666 | 0.666 | 0.666 | 0.666 | 0.666 | 0.666 | 0.666 | 0.666 | 0.666 |
| 1066 | NW_073e | 0.734 | 0.734 | 0.734 | 0.734 | 0.734 | 0.734 | 0.734 | 0.734 | 0.734 | 0.734 | 0.734 | 0.734 | 0.734 | 0.734 | 0.734 | 0.734 | 0.734 | 0.734 |
| 1067 | NW_080e | 0.8 | 0.8 | 0.8 | 0.8 | 0.8 | 0.8 | 0.8 | 0.8 | 0.8 | 0.8 | 0.8 | 0.8 | 0.8 | 0.8 | 0.8 | 0.8 | 0.8 | 0.8 |
| 1068 | NW_086e | 0.866 | 0.866 | 0.866 | 0.866 | 0.866 | 0.866 | 0.866 | 0.866 | 0.866 | 0.866 | 0.866 | 0.866 | 0.866 | 0.866 | 0.866 | 0.866 | 0.866 | 0.866 |
| 1069 | NW_093e | 0.933 | 0.933 | 0.933 | 0.933 | 0.933 | 0.933 | 0.933 | 0.933 | 0.933 | 0.933 | 0.933 | 0.933 | 0.933 | 0.933 | 0.933 | 0.933 | 0.933 | 0.933 |
| 1070 | NW_100e | 1.0 | 1.0 | 1.0 | 1.0 | 1.0 | 1.0 | 1.0 | 1.0 | 1.0 | 1.0 | 1.0 | 1.0 | 1.0 | 1.0 | 1.0 | 1.0 | 1.0 | 1.0 |
| 1071 | NW_006e | 0.066 | 0.066 | 0.066 | 0.066 | 0.066 | 0.066 | 0.066 | 0.066 | 0.066 | 0.066 | 0.066 | 0.066 | 0.066 | 0.066 | 0.066 | 0.066 | 0.066 | 0.066 |
| 1072 | NW_013e | 0.133 | 0.133 | 0.133 | 0.133 | 0.133 | 0.133 | 0.133 | 0.133 | 0.133 | 0.133 | 0.133 | 0.133 | 0.133 | 0.133 | 0.133 | 0.133 | 0.133 | 0.133 |
| 1073 | NW_020e | 0.2 | 0.2 | 0.2 | 0.2 | 0.2 | 0.2 | 0.2 | 0.2 | 0.2 | 0.2 | 0.2 | 0.2 | 0.2 | 0.2 | 0.2 | 0.2 | 0.2 | 0.2 |
| 1074 | ROXY_100_100e | 1.0 | 0.0 | 1.0 | 1.0 | 0.0 | 1.0 | 1.0 | 0.0 | 1.0 | 1.0 | 0.0 | 1.0 | 1.0 | 0.0 | 1.0 | 1.0 | 0.0 | 1.0 |
| 1075 | GS0B_100_100e | 0.0 | 1.0 | 1.0 | 0.0 | 1.0 | 0.0 | 1.0 | 1.0 | 0.0 | 1.0 | 0.0 | 1.0 | 0.0 | 1.0 | 1.0 | 0.0 | 1.0 | 0.0 |
| 1076 | Y06C_100_100e | 1.0 | 1.0 | 0.0 | 1.0 | 0.0 | 0.0 | 1.0 | 0.0 | 1.0 | 0.0 | 0.0 | 1.0 | 0.0 | 1.0 | 0.0 | 0.0 | 1.0 | 0.0 |
| 1077 | B06M_100_100e | 0.0 | 0.0 | 1.0 | 0.0 | 1.0 | 0.0 | 0.0 | 1.0 | 0.0 | 0.0 | 1.0 | 0.0 | 0.0 | 1.0 | 0.0 | 1.0 | 0.0 | 0.0 |
| 1078 | B08L_100_100e | 0.0 | 1.0 | 0.0 | 1.0 | 0.0 | 0.0 | 1.0 | 0.0 | 1.0 | 0.0 | 0.0 | 1.0 | 0.0 | 1.0 | 0.0 | 0.0 | 1.0 | 0.0 |
| 1079 | B50R_100_100e | 1.0 | 0.0 | 1.0 | 1.0 | 0.0 | 1.0 | 0.0 | 1.0 | 0.0 | 1.0 | 0.0 | 1.0 | 0.0 | 1.0 | 0.0 | 1.0 | 0.0 | 0.0 |

Eingabe: rgb/cmyk -> rgbe
 Ausgabe: Transfer nach cmy0e

TUB-Prüfvorlage QG88; Bunttoncode: H*e=G25Be
 Farben und Farbabstände, ΔE*

QC880-7N; Seite 33/33-4

0-013321-F0

0-013321-F0